



ارائه شده توسط:

سایت ترجمه فا

مرجع جدیدترین مقالات ترجمه شده

از نشریات معتبر

## رمزگذاری میله ای دی. آن.آ. Buplerum در طب چینی

### چکیده

چهار نشانه گر یعنی فاصله گذار و جدا کننده رونوشت برداری شده داخل هسته ای 2(ITS2)، psbA-، trnH, matk, rbc1 را جهت بررسی و ارزیابی بارکدهای دی آن ا به منظور تمیز Bupleuri radix(Chaihu) از نمونه های تقلبی آن آزمایش شد. 51 نمونه از گیاهان Buplerum که نشانگر 19 گونه بودند، از مناطق مختلف کشور چین جمع آوری شدند. فزون سازی و ترتیب گذاری در تمامی 4 ناحیه کانیدیدا و داوطلب بارکد انجام شد، که اعتبار آن از نظر و برحسب میزان و مقدار موفقیت فزون سازی و ترتیب گذاری PCR، اختلاف خاص داخل و بین تفاضلی ارزیابی شد. فاصله رمزگذاری میله ای DNA و توانایی تمیز گونه ها ارزیابی شد. نتایج تحقیق ثابت میکند که عملکرد ITS2 در تشخیص Buplerum با اثر بخشی تشخیص و بازشناسی 73.68٪ بهتر از گونه های دیگر بوده است به طوری که این میزان اثر بخشی پس از ترکیب با psbA-trnH به 83.33 درصد افزایش یافت. سپس اثر بخشی ITS2 را جهت تمیز گونه های Buplerum با استفاده از بانک اطلاعاتی GenBank که به داده های 223 نمونه از بین 24 گونه دست یافتیم، بررسی کردیم و ITS2 موفق به بازشناسی و تمیز 64.13٪ نمونه در سطح گونه ها شد. در نتیجه، ITS2 میتواند به صورت یک بارکد مفید در گونه های Buplerum استفاده شود و psbA-trnH به صورت لوکوس یا جایگاه (ژن) مکمل استفاده شود. کلمات کلیدی: رمز گذاری میله ای DNA، Bupleuri radix(Chaihu)، Buplerum، ITS2، بازشناسی و تمیز، طب سنتی چین

### مقدمه

Chiatu (Bupleuri radix)، ریشه های خشک Bupleurum DC چینی و B. Scorzonerifolium Willd یکی از گیاهان معروف طب سنتی چین با تاریخچه مصرف و کاربرد پزشکی بیش از دو هزار سال است. طب سنتی چین بر این باور است که Chiatu متابولیسم داخلی و بیرونی بدن را تضمین میکند و گرمای زیان

آور و مضر را از سطوح خارجی و پهنه مساحت پراکنده می کند ، درد کبد را تسکین می دهد و از نظر افرادی چون یانگ و کی ( که "انرژی حیات" و "نیرو حیات و عمر" را در نظریه TCM بیان کردند ) حمایت میکند. نقض و نارسایی از نظر یانگ و کوی منجر به نقصان و کاهش کارکردهای بدن می شود و این کاهش و نقصان منجر به کاهش متابولیسم و بد کارکردی کل بدن یا اندام های خاص می شود. نشانه های چون اعتماد به نفس پایین ، خستگی و ضعف ، کاهش اشتها ، اسهال مزمن ، پایین افتادگی رو به پایین اندامها ( مثل پرولاپس رکتوم ، افتادگی معده ، پرولاپس رحم ) تمامی نشانه های از نقض و عیب کارکرد دستگاه های بدن و بی اعتباری نظریه یانگ و کیو است . Chiatu یکی از مولفه های مهم تجویز درمان مثل نشانه های است که نظریه یانگ و کیو را تایید و حمایت میکنند. Chiatu براساس راهنما دارویی کشور چین در درمان سرماخوردگی همراه با تب ، آنفلوانزا ، هیپاتیت ، مالاریا ، پرولاپس رحم ، پرولاپس رکتوم ، دوران قاعدگی های طولانی ( مفید است .

*Bupleurum L(Apiaceae)* تقریباً دارای 150 گونه در سرتاسر جهان است . حدود 44 گونه ، 17 نوع و 7 ریخت از *Bupleurum L(Apiaceae)* در کشور چین شناسایی شده است ، که بین 27 ایالت کشور چین توزیع شده اند ( شهرهای مناطق خود مختار ) . اگر چه کاربرد بالینی دو گونه فوق الذکر رسماً در کتاب راهنما دارویی چین تایید شده است ، اما کاربرد پزشکی 26 گونه ، 6 نوع و 1 ریخت از *Bupleurum* مثل *B.longiradiatum Turcz* دارای عناصر سازنده سمی و *B.hamiltoni Balak* دارای محتویات غیر قابل تشخیص سایکو سوفانین است . حتی 5 یا 6 گونه مختلف از *Bupleurum* محلی در برخی از مناطق به نام *Chiatu* مصرف و استفاده می شوند . این سردرگمی ( عمدی یا غیر عمدی ) منجر به ایجاد کیفیت های نسبتاً متغیر مواد خام *Chiatu* در بازار چین می شود.

تشخیص دقیق داروهای خام برای کاربرد ها و مصارف امن بالینی *Chiatu* در روشهای پزشکی TCM و برای تحقیقات دارو شناسی و شیمیایی مهم است . معهدا، تحقیقات مرسوم آناتومی و شیمی آرایه ای ارزش محدود و اندکی را برای تعیین منشاء گیاهی و کنترل کیفیت *Chiatu* قائل شدند ، و از این رو، به روش معتبرتری برای شناسایی و تشخیص منشاء گیاهی و کنترل کیفیت *Chiatu* نیاز می شود. اقداماتی جهت بررسی احتمال عملی و

کاربرد پذیری توالی های فاصله گذار رونوشت شده داخلی ( ITS ) جهت تعیین هویت گیاهان طبی Bupleurum انجام شده است. متوجه شدیم که آرایش خطی و صف بندی همساخت و متناظر توالی های ITS بین اعضاء ژن Bupleurum و برون گروه یا گروه های بیگانه کمتر از 75٪ بوده است ، در حالی که آرایش خطی درون گروهی بیش از 87 درصد بود ، به طوری که نمونه های گیاهان مشابه حداقل 99 درصد با ITS شباهت داشتند . بنابراین پیشنهاد و توصیه میکنیم که توالی های ITS به عنوان نشانگرهای معتبر مولکولی تشخیص Chiatu استفاده شوند ، البته نیز 6 گروه دیگر از گونه های مختلف را با تجانس و تشابه بیش از 99 درصد توالی ITS کشف کردیم ، به طوری که این گونه ها به وسیله توالی ITS قابل تشخیص و بازشناسی نبودند.

کد گذاری میله ای یا بارکد DNA روش تشخیص و شناسایی گونه های است که شامل ترتیب گذاری و ردیف گذاری ناحیه خاص و استاندارد DNA می شود. این روش ابتدا به وسیله هربرت و همکاران ( 2003a ) طراحی شود و این روش به عنوان یکی از ابزارهای قدرتمند تشخیص و بازشناسی گونه ها ثابت شده است . سیتوگروم یا رنگ یاخته ( واحد فرعی 2 منطقه میتوکندری را اکسیده می کند ( COI ) ) به صورت ناحیه استاندارد بارکد تشخیص و شناسایی دامنه وسیعی از جانوران ظاهر و هویدا می شود ، اما نسبت تحول و تکامل آن در کاربرد های گیاهی بسیار کند است . کریس در سال 2005 استفاده مرکب و مختلط از psbA-trnH و ITS دی آن آ ریپوزومی هسته ای را برای شناسایی گیاهان توصیه کرد ، و چیس و همکاران ( 2005 ) و نیوماستر و همکاران ( 2006 ) rbcl را برای این منظور و هدف توصیه کردند . ترکیب rbcl و matK به عنوان بارکد اصلی تشخیص و شناسایی گیاهان زمینی به وسیله CBOL گروه کاری گیاهان ( 2009 ) توصیه شد . اما از آنجایی که اثر بخشی های بازشناسایی ، تقویت و فزون سازی مناطق پیشنهادی در گروه های مختلف گیاهان متفاوت است ، اقدامات مداوم و پیوسته ای جهت ارزیابی و بررسی نشانه های کلی بار کد گیاهان انجام شده است . چن و همکاران ( 2010 ) در یک تحقیق با استفاده از یک نمونه بزرگ ثابت کردند که مناطق جدا ساز 2 رونوشت شده داخلی هسته ( ITS2 ) نه تنها دارای اثر بخشی بالا تقویت و فزون سازی بودند بلکه نیز دارای اثر بخشی بالا بازشناسی 90٪ بودند ، و آنها استفاده از ITS2 را به عنوان یکی از بارکدهای بالقوه شناسایی گیاه توصیه کردند.

در این تحقیق 4 لوکوس یا جایگاه کاندید را یعنی مناطق ژن های کلروپلاست *psbA-trnH* ، *matK* ، *rbcl* و *ITS2* از نظر اعتبار بارکدهای DNA و به منظور شناسایی گونه های گیاه طبی *Bupleurum* آزمایش کردیم . هدف ما از این کار تایید و تثبیت سیستم بارکد DNA *Bupleurum* چینی بود که اطلاعات کلی نمونه های دارو خام *Chiatu* را جهت تسهیل تشخیص *Chiatu* در اختیار ما قرار می داد و نظریه های بهتری را در مورد روابط ژنتیکی و فیلوژنی گونه های *Bupleurum* ارائه می داد.

### مواد و روشهای تحقیق

#### نمونه گیری تاکسونی

در کل و مجموع ، 51 نمونه حاوی 19 گونه *Bupleurum* از مناطق مختلف چین مثل استان های *Yunnan, Hebei, Shanxi, Gansti* جمع آوری شدند. تمام گونه های گیاهی به وسیله یکی از چهار نویسنده زیر یعنی چائو زی ، و پرفسور پان شانگلی دانشکده دارو سازی ، دانشگاه فودان شناسایی شدند. داروهای خام *Bupleuri radix* به شکل ریشه های خشک از بازار محلی خریداری شدند. نمونه اسناد این گیاهان در دانشکده طب سنتی جین ، دانشگاه پزشکی *Southern* نگهداری می شوند. اطلاعات کامل در مورد مواد مورد استفاده و توالی های بدست آمده در تحقیق در جدول 1 نشان داده شده است .

#### استخراج DNA ، فزون سازی ، تقویت و ردیف گذاری

DNA ژنومی از نمونه برگ خشک شده در ژل سیلیکا با استفاده از کیت عصاره DNA ژنومی گیاه طبق پروتکل تولید کننده استخراج شد . کیفیت نمونه های DNA استخراج شده جهت تضمین مناسب آنها برای تقویت و فزون سازی متوالی ثابت شد. امکان بارکد گذاری *Bupleurum* در 4 ناحیه کد گذاری میله ای ( *rbcl, matK, psbA-trnH, ITS2* ) آزمایش شد . جلودار و آغاز گر عمومی مورد استفاده جهت تقویت این چهار منطقه به شرح زیر بودند : *rbcl, 1F, 724R* ( فای و همکاران 1997 ) ، *matK, 390F, 1326R* ( کونوئید و همکاران 2003 ) ، *psbA-trnH, trnHf* ( تات و سیمپسون 2003 ) و *psbA3f* ( سانگ و همکاران 1997 ) . جلودار و آغاز گر پیشرو ( *5'-cgtagcgaatgcgatacttggtg-3'* ) به منظور تقویت *ITS2* به وسیله

محققان طراحی شد و ITS4 آغاز گر برگشتی یا وارونه بود. ( وایت و همکاران 1990). تقویت PCR در مخلوط و ترکیب 25µl واکنشی انجام شد که هر آغاز گر حاوی  $12.5 \mu\text{l} \times 2$  ، 1µl مخلوط یا ترکیب بی رنگ *Taq PCR* ، 1µl DNA ژنومی ، و 9.5µl ddH<sub>2</sub>O بودند. شرایط تقویت PCR به شرح زیر بود ، در دما 93 درجه سانتی گراد به مدت 5 دقیقه ، 53 درجه سانتی گراد به مدت 45 ثانیه ، دو دقیقه پس از انجام 35 چرخه در دما 93 سانتی گراد به مدت سی ثانیه و 53 درجه سانتی گراد به مدت 45 ثانیه ، و 70 درجه سانتی گراد به مدت 45 ثانیه با بسط و کشیدگی نهایی در دما 70 درجه سانتی گراد به مدت 5 دقیقه . فرآورده های PCR با 1.2٪ الکتروفورز ژل آگاروز شناسایی شدند و زیر نوع فرا بنفس رویت شدند. فرآورده ها پس از خلوص سازی در هر دو مسیر با شرکت با مسئولیت محدود Invitrogen Biotechnology ترتیب گذاری و ردیف گذاری شدند.

استخراج ، تقویت ، و ردیف سازی DNA در نمونه های داور خام Chaihu به روشهای یکسان و تحت شرایط فوق الذکر انجام شدند.

### تحلیل توالی

توالی های DNA با استفاده از نرم افزار Clustral X (تامپسون و همکاران 1997) و Mega5.0 (تامورا و همکاران 2007) در یک ردیف قرار گرفتند و با نسخه 3,7.1 Codoncode Aligner به یکدیگر جفت شدند . بعلاوه ، مرز و حدود تمام توالی های ITS2 در تحقیق ما بر اساس روش های حاشیه نویسی و اطلاعات ضمیمه ای مدل های پنهان مارکوف (HMM) تعیین میشوند.

متوسط فاصله درون - بین گونه ای به منظور ارزیابی تغییرات درون گونه ای و واگرایی بین گونه ای محاسبه شدند (مایر و پاولی 2005، مایر و همکاران 2008). آزمایشات رده بندی علامتی و آزمایشات دو - نمونه ای جهت تحلیل نتایج استفاده شدند. اختلافات بارکد گذاری DNA با استفاده از برنامه TaxonDNA (مایر و همکاران 2006) جهت ارزیابی و بررسی توزیع اختلافات بین و درون گونه ای هر یک از موضع های ژنهای کاندیدا استفاده

شدند. بعلاوه ، روشهای BLAST1 و نزدیکترین فاصله ژنتیکی ( راس و همکاران 2008) برای آزمایش و بررسی اثر بخشی شناسایی و تشخیص پونه ها استفاده شدند .

Species	Specimen voucher	Locality	Collected date	ITS2	psbA	matK	rbcl
<i>B. angustissimum</i>	liangzhenbiao 081804	Pingshan, Hebei	2009/8/18	+	+	+	+
<i>B. angustissimum</i>	chaozhi 82801	Liupanshan, Ningxia	2009/8/28	+	+	-	+
<i>B. candollei</i>	liuli 0908063	Huize, Yunnan	2009/8/6	+	+	+	+
<i>B. chaishouii</i>	liuli 0908102	Wenchuan, Sichuan	2009/8/10	+	+	-	+
<i>B. chinense</i>	chaozhi 72801	Songshan, Beijing	2009/7/28	+	+	+	+
<i>B. chinense</i>	liangzhenbiao 081103	Handan, Hebei	2009/8/11	+	+	+	+
<i>B. chinense</i>	chaozhi 82805	Longde, Ningxia	2009/8/28	+	+	+	+
<i>B. chinense</i>	ciwei 090813	Dalian, Liaoning	2009/8/13	+	+	+	+
<i>B. chinense</i>	chaozhi 090626	Feixi, Anhui	2009/6/26	+	+	+	+
<i>B. chinense</i>	liangzhenbiao 081803	Pingshan, Hebei	2009/8/18	+	+	+	+
<i>B. chinense</i>	chaozhi 090725	Chicheng, Hebei	2009/7/25	+	+	+	+
<i>B. chinense</i>	liuli 0908209	Xihe, Gansu	2009/8/20	+	+	+	+
<i>B. chinense</i>	liuli 0908151	Zhenba, Shanxi	2009/8/15	+	+	-	+
<i>B. chinense</i>	liuli 0908155	Zhenba, Shanxi	2009/8/15	+	-	-	+
<i>B. chinense</i>	liuli 0908162	Zhenba, Shanxi	2009/8/16	-	-	-	+
<i>B. chinense</i>	liuli 0908223	Dingxi, Gansu	2009/8/22	+	+	+	+
<i>B. chinense</i>	liuli 82001	Xihe, Gansu	2009/8/20	+	-	+	+
<i>B. chinense</i>	liuli 0908201	Xihe, Gansu	2009/8/20	+	+	-	+
<i>B. chinense f. chiliosciadium</i>	liuli 0908221	Dingxi, Gansu	2009/8/22	+	+	+	+
<i>B. chinense f. octoradiatum</i>	chaozhi 72604	Chicheng, Hebei	2009/7/26	+	+	+	+
<i>B. chinense f. vanheurckii</i>	chaozhi 72904	Songshan, Beijing	2009/7/29	+	+	+	+
<i>B. falcatum</i>	chaozhi 111028	Nagasaki, Japan	2011/10/28	+	+	+	+
<i>B. falcatum</i>	liangzhenbiao 081501	Anguo, Hebei	2009/8/15	+	+	+	+
<i>B. hamiltonii</i>	liuli 0908041	Kunming, Yunnan	2009/8/4	+	+	+	+
<i>B. hamiltonii</i>	liuli 0908021	Lijiang, Yunnan	2009/8/2	+	+	+	+
<i>B. longicaule var. giraldii</i>	liuli 0908161	Zhenba, Shanxi	2009/8/16	+	+	-	+
<i>B. longiradiatum</i>	ciwei 090805	Mudanjiang, Heilongjiang	2009/8/5	+	+	+	+
<i>B. longiradiatum</i>	ciwei 090802	Jiamusi, Heilongjiang	2009/8/2	+	-	-	+
<i>B. longiradiatum</i>	ciwei 0908101	Changbaishan, Jilin	2009/8/10	+	+	+	+
<i>B. longiradiatum f. australe</i>	chaozhi 0907019	Huangshan, Anhui	2009/7/19	+	+	-	+
<i>B. malconense</i>	liuli 0908101	Wenchuan, Sichuan	2009/8/10	+	+	-	+
<i>B. marginatum</i>	liuli 0908062	Huize, Yunnan	2009/8/6	+	+	+	+
<i>B. marginatum var. stenophyllum</i>	liuli 0907312	Dali, Yunnan	2009/7/31	+	+	+	+
<i>B. marginatum var. stenophyllum</i>	liuli 0907301	Dali, Yunnan	2009/7/30	+	-	-	+
<i>B. marginatum var. stenophyllum</i>	liuli 0907311	Dali, Yunnan	2009/7/31	+	+	+	+
<i>B. petiolulatum var. tenerum</i>	liuli 0908031	Lijiang, Yunnan	2009/8/3	+	-	+	+
<i>B. polyclonum</i>	liuli 0908061	Huize, Yunnan	2009/8/6	+	+	+	+
<i>B. scorzonerifolium</i>	liangzhenbiao 081101	Handan, Hebei	2009/8/11	-	+	-	+
<i>B. scorzonerifolium</i>	ciwei 090801	Jiamusi, Heilongjiang	2009/8/1	+	+	-	+
<i>B. scorzonerifolium</i>	chaozhi 090722	Quanjiang, Anhui	2009/7/22	+	+	+	+
<i>B. scorzonerifolium</i>	chaozhi 72601	Chicheng, Hebei	2009/7/26	+	+	-	+
<i>B. sichuanense</i>	liuli 0908111	Wenchuan, Sichuan	2009/8/11	+	+	+	+
<i>B. smithii</i>	chaozhi 72903	Songshan, Beijing	2009/7/29	+	+	+	+
<i>B. smithii var. parvifolium</i>	chaozhi 82803	Liupanshan, Ningxia	2009/8/28	+	+	-	+
<i>B. yinchowense</i>	liuli 090815	Zhenba, Shanxi	2009/8/15	+	-	-	+
<i>B. yinchowense</i>	liangzhenbiao 082204	Yizhou, Shanxi	2009/8/22	-	-	+	+
<i>B. yinchowense</i>	liangzhenbiao 082202	Yizhou, Shanxi	2009/8/22	+	+	+	+
<i>B. yinchowense</i>	liangzhenbiao 082402	Yuncheng, Shanxi	2009/8/24	+	+	+	+
<i>B. yinchowense</i>	liuli 0908208	Xihe, Gansu	2009/8/20	+	+	-	+
<i>B. yinchowense</i>	liuli 908206	Xihe, Gansu	2009/8/20	+	+	+	+
<i>B. yinchowense</i>	chaozhi 82804	Longde, Ningxia	2009/8/28	+	+	+	+

## جدول 1

	ITS2	psbA-trnH	matK	rbcl
Amplicon length (bp)	226-227	328-367	(823- )882-883	(923- )932-933
PCR efficiency (%)	100	96.08	66.67	100
Sequencing efficiency (%)	100	87.76	94.12	100
Identification efficiency (%)				
Blast1	73.68	72.22	46.15	26.32
Nearest distance	52.63	44.44	30.77	21.05

## جدول 2

	ITS2	matK	psbA-trnH	rbcL
All inter-specific distance	0.0616 ± 0.0426	0.0100 ± 0.0074	0.0298 ± 0.0358	0.0039 ± 0.0040
Theta prime	0.0681 ± 0.0282	0.0116 ± 0.0052	0.0351 ± 0.0265	0.0039 ± 0.0021
Minimum inter-specific distance	0.0204 ± 0.0282	0.0036 ± 0.0065	0.0098 ± 0.0205	0.0006 ± 0.0015
All intra-specific distance	0.0048 ± 0.0108	0.0043 ± 0.0030	0.0111 ± 0.0139	0.0025 ± 0.0022
Theta	0.0252 ± 0.0372	0.0076 ± 0.0062	0.0186 ± 0.0284	0.0026 ± 0.0027
coalescent depth	0.0295 ± 0.0359	0.0096 ± 0.0053	0.0249 ± 0.0289	0.0045 ± 0.0048

### جدول 3

W+	W-	Correlation between the inter-specific variation, n, p	Results
ITS2	matK	W+ = 66640, W- = 1256, n = 378, p = 1.10E - 57	p < 0.05 ITS2 > matK
ITS2	psbA	W+ = 246957, W- = 11164, n = 724, p = 8.47E - 100	p < 0.05 ITS2 > psbA
ITS2	rbcL	W+ = 466340, W- = 1688, n = 981, p = 1.48E - 157	p < 0.05 ITS2 > rbcL
matK	psbA	W+ = 843, W- = 47362, n = 314, p = 4.35E - 49	p < 0.05 matK < psbA
matK	rbcL	W+ = 75033, W- = 2388, n = 405, p = 1.86E - 58	p < 0.05 matK > rbcL
psbA	rbcL	W+ = 263961, W- = 11692, n = 762, p = 1.94E - 103	p < 0.05 psbA > rbcL

### جدول 4

W+	W-	Correlation between the intra-specific variation, n, p	Results
ITS2	matK	W+ = 1264, W- = 1976, n = 87, p = 0.088	p > 0.05 ITS2 = matK
ITS2	psbA	W+ = 716, W- = 3200, n = 96, p = 2.37E - 7	p < 0.05 ITS2 < psbA
ITS2	rbcL	W+ = 6077, W- = 3514, n = 147, p = 0.006	p < 0.01 ITS2 > rbcL
matK	psbA	W+ = 51, W- = 1779, n = 64, p = 2.01E - 10	p < 0.05 matK < psbA
matK	rbcL	W+ = 3319, W- = 597, n = 91, p = 1.49E - 8	p < 0.05 matK > rbcL
psbA	rbcL	W+ = 3870, W- = 501, n = 99, p = 1.09E - 10	p < 0.05 psbA > rbcL

### جدول 5

## نتایج تحقیق

کیفیت خوب نمونه های DNA حاصل تمامی مواد آزمایش بود. 4 ناحیه کاندید بارکد تقویت و ردیف گذاری شدند . اندازه بزرگ شدگی یا بسط به شرح زیر بود : اندازه ITA2 : 226-227bp ، اندازه psbA-trnH : 328-367bp ، اندازه rbcL : 932-bp (~923) ، اندازه matK : 882-883bp (~823) بود. اثر بخشی تقویت و توالی و ردیف سازی PCR یکی از شاخص های مهم ارزیابی کاربرد پذیری بارکدهای DNA است . مقدار تقویت و توالی سازی مناطق ITS2 و rbcL در گونه های آزمایش (جدول 2) 100٪ بود. نسبت و مقدار موفقیت PCR در matK و psbA-trnH با اثر بخشی ردیف گذاری 87.76٪ و 94.12٪ به ترتیب 96.08٪ و 66.67٪ بود. تغییرات داخل و بین گونه ای چهار بارکد کاندید با شش متریک (چان و همکاران 2010) (جدول 3) ارزیابی شدند. میانگین مسافت درون گونه ای ، میانگین آغاز و اول تتا ، و حداقل مسافت بین گونه ای جهت ارزیابی واگرایی بین گونه ای استفاده شد . ITS2 از بین 3 منطقه کاندید بارکد در تمام سه بعد دارای بالاترین واگرایی بین گونه ای بود ، و پس از آن مناطق بارکد matK و psbA-trnH دارای بالاترین واگرایی بین گونه ای بودند ، و rbcL



دارای پایین ترین واگرایی و اختلاف بین گونه ای بود. میانگین مسافت و فاصله درون گونه ای و میانگین عمق پیوسته در سطح درون گونه ای به منظور بررسی تغییر درون گونه ای استفاده شدند. psbA-trnH دارای بالاترین میانگین مسافت درون گونه ای بود و پس از آن به ترتیب ITS2 و matK دارای بالاترین مسافت درون گونه ای بودند ، و rbcL دارای کمترین فاصله درون گونه ای بود. ITS2 مانند دو پارامتر دیگر ( تتا و میانگین عمق پیوسته ) بالا ترین سطح تغییر درون گونه ای را نشان داد و پس از آن psbA-trnH دارای بالاترین سطح تغییر درون گونه ای بود. تمام 4 ناحیه بالاترین تغییر پذیری ژنتیکی را در بین گونه ها نشان دادند.

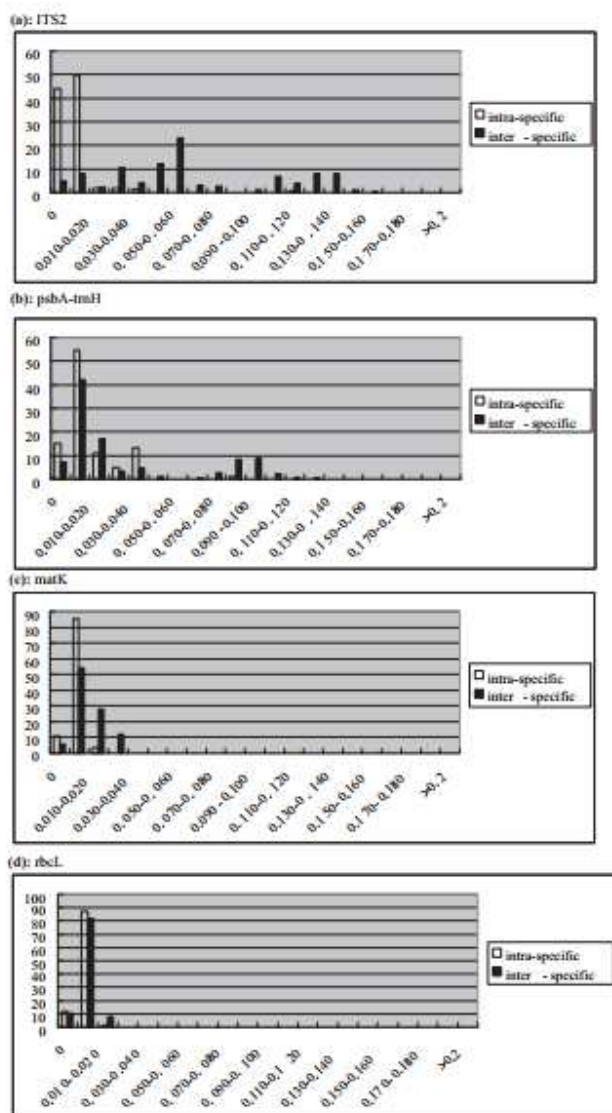
آزمایشات درجه بندی نشانه ای داده های واگرایی بین و درون گونه ای ویلکسون نتایج یکسانی را نشان داد ( جدولهای 4 و 5) . تحقیق ثابت کرد که ITS2 و psbA-trnH مناسبترین بارکدهای DNA را ارائه می دهند.

توزیع های اختلافات و واگرایی های بین گروهی را در برابر درون گروهی 4 بارکد در مقیاس واحدهای مسافت 0.001 ( شکل 1) بررسی کردیم . نمودار میلیه ای واگرایی در این شرایط ایده ال تغییر بین گونه ای را نشان می دهد که سمت چپ آن دارای اعداد کوچکتر است ، در حالی که اعداد سمت راست حاکی از تغییر درون گروهی بزرگتر است . براساس شکل 1 ، ITS2 علی رغم هم پوشی اندک ، که در rbcL بسیار مشهود بود، اختلافات متمایزی را بین توزیع های تغییرات درون و بین گروهی نشان داد. بنابراین ، فرض می کنیم ، که ITS2 میتواند برای تمیز و بازشناسی اکثر گونه های مورد بررسی در این تحقیق استفاده شود.

یک بارکد ایده ال و مناسب توانایی بالا تمیز و بازشناسی گونه ها را نشان می دهد ( کرس و همکاران 2005، لاهی و همکاران 2008، هولینگ ورث و همکاران 2009) . روشهای BLASTI و نزدیکترین فاصله و مسافت ژنتیکی جهت برآورد و تخمین کاربرد پذیر 4 لوکوس و جایگاه تشخیص و شناسایی گونه ها ( جدول 5) استفاده شد. از آنجایی که روش BLASTI دارای دقت بازشناسی و محاسبه سرعت بهتری از روش نزدیکترین فاصله بود ، از اثر بخشی بازشناسی و تشخیص BLASTI به عنوان ملاک ارزیابی بارکدهای کاندید در این تحقیق استفاده کردیم . نتایج ما نشان می دهند که ITS2 دارای بالاترین توانایی تصحیح و اثبات درستی بوده و 73.68٪ از نمونه های آزمایش را در سطوح گونه ها شناسایی می کند. psbA-trnH پس از ITS2 اثر بخشی شناسایی 72.22٪ را

نشان داد. اثر بخشی شناسایی پس از ترکیب ITS2 و psbA-trnH به 84.21 درصد افزایش یافت. در مقابل، مقادیر شناسایی موفق گونه ها با استفاده از بارکدهای matK و rbcL کمتر از 50٪ بود.

سپس اثر بخشی ITS2 را جهت تمیز و بازشناسی گونه های *Bupleurum* در مقایس بزرگتر بررسی میکنیم. توالی های ITS2، 173 نمونه (که 73 گونه *Bupleurum* را نشان می داد) از GenBank جهت ایجاد یک پایگاه بزرگتر داده ها (نیوس و واتسون 2004، یانگ و همکاران 2007، اکسی و همکاران 2009، وانگ و همکاران 2008a,b,2011) گرفته و بارگذاری شدند. متوجه شدیم که ITS2 64.13٪ از نمونه ها را در سطح گونه ای تمیز و بازشناسی میکند.



## شکل 1

### بحث و استدلال

#### ارزشیابی کاربرد پذیری چهار بارکد کاندید

یک بارکد ایده آل و مناسب DNA باید دارای تقویت بالا PCR و اثر بخشی بالا ردیف گذاری ، واگرایی های مهم درون گونه ای و حداقل تغییر بین گونه ای باشد . گروه کاری گیاه CBOL ترکیبی از rbcL+matK را به عنوان بارکد گیاه پیشنهاد و طراحی کرد ، دو قطعه با عمومیت آغاز گر خوب و اثر بخشی بالای تقویت ، کیفیت خوب توالی و قدرت بالای تمیز و بازشناسی مشخص شدند. rbcL در تحقیق حاضر 100 درصد اثر بخشی توالی و تقویت را نشان می دهد ، اما اثر بخشی شناسایی آن فقط 26.32٪ بود. اثر بخشی تقویت این بارکد مانند MatK همراه با آغاز گر عمومی پیشنهادی 390F-1326R فقط 66.67٪ بود و اثر بخشی شناسایی 46.15٪ بود. بسیاری از تحقیقات ثابت کردند که rbcL و matK نسبت به حل و رفع مسائل فیلو ژنتیکی در رده های بالاتر تاکسونومیک آگاهی دهنده هستند و اطلاعاتی عمل میکنند ، اما در بررسی مسائل رده های پایین تر مثل تمیز و بازشناسی گونه ها ناتوان هستند، زیرا این مناطق غالباً فاقد تغییرات گونه های نزدیک به هم به ویژه گونه های دارای تکامل و تحول واگرا هستند ( تیان و لی 2007، گائو و همکاران 2011) . سایر پژوهشگران نیز شاهد میزان موفق تقویت و برافزایشی matK بوده اند ( کریس و اریکسون 2007، ژئو و همکاران 2011) . تقویت آغاز گر های عمومی پیشنهادی 390F و 1326R قطعه ای از کل ژن matK است . تغییرات احتمالی در مکان و جایگاه های آغاز گر منجر به شکست و یا عدم تقویت یکی از سه Bupleurum می شود. rbcL و matK قادر به شناسایی Bupleurum در سطح گونه ها نبودند.

چن و همکاران اخیراً ITS2 را به عنوان منطقه بارکد گیاهان معرفی کردند . منطقه ITS2 با طول 220bp دارای نسبت و مقدار بالا تکامل و تحول است ، و با ایجاد تغییرات کافی منجر به تمیز بهتر گونه ها می شود. بعلاوه، قطعه به آسانی به منظور فراهم سازی تشخیص و شناسایی مواد همراه با تجزیه DNA به صورت نمونه ها و داروهای خام تقویت و ردیف گذاری می شود.

در این تحقیق ثابت کردیم که ITS2 بر سایر جایگاه ها مثل بارکد *Bupleurum* از نظر تقویت و اثر بخشی ردیف گذاری ، اختلاف بارکد ، مقدار شناسایی برتری دارد .

ما با استفاده از آغاز گرهای طراحی شده برای ITS2 ، به 100 درصد اثر بخشی ردیف گذاری و تقویت PCR دست یافتیم . ITS2 مانند اثر بخشی شناسایی به تنهایی نسبت و مقدار موفق 73.63٪ را در تمیز و باز شناسایی *Bupleurum* نشان داد ، نسبت موفق آن در صورت ترکیب و اختلال با توالی های psbA-trnH به 84.21٪ افزایش یافت . بعلاوه ، موفقیت ITS2 کاملاً 64.13 درصد از نمونه ها را در سطح گونه های پایگاه داده بزرگ GenBank شناسایی کرد که شامل 173 نمونه از 73 گونه می شدند.

ما با توجه به نتایج بدست آمده پیشنهاد می کنیم که منطقه ITS2 به عنوان بارکدی برای تمیز گونه های *Bupleurum* ، و psbA-trnH به عنوان جایگاه تکمیلی استفاده شوند.

مزیا و معایب بارکد ITS2 در تمیز گونه های *Bupleurum*

پیشتر ثابت کردیم که توالی های ITS2 می توانند جهت شناسایی گونه های *Bupleurum* به عنوان نشانگرهای معتبر مولکولی استفاده شوند، اما آنها قادر به تمیز و تشخیص 6 گروه از گونه های مختلف مثل

(1) *B.chinese*,*B.malconense*,*B.Sichuanense* .

(2)*B.smithii*,*B.commelynoideum* var.*flaviflorum*,*B.sibiricum*

,(3)*B.scorzonerifolium* ,*B.angustissimum*

,(4)*B.rockii*,*B.petiolum* var.*tenerum*,

(5)*B.marginatum*,*B.marginatum* var.*stenophyllum*

,(6) *B.candollei*,*B.hamiltonii* )Xie

جواب های اکثر گروه های گونه PsbA-trnH و ITS2 و همکاران ، 2009) نیستند. مناطق بارکد پیشنهادی

از گروه 1 و *B.malconense* به تنهایی قادر به تمیز و شناسایی ITS2 را ارائه می دهند. مثلاً ،

با استفاده *B.hamiltonii* از *B.candollei* و *B.commelynoideum* var.*flaviflorum* از *B.smithii* ،

تمیز داده شود، و *B. chinese* میتواند از *B. Sichuanense* است و *psbA-trnH* و *ITS2* از ترکیب از نوع اولیه تمیز داده شود. *B. marginatum var. stenophyllum*

تمام 4 قطعه بارکد بررسی شده قادر به تمیز و شناسایی *B. chinese* و *B. yinchowense* نبود که شامل اکثر داروهای تجاری خام *Chaitu* در بازار می شود. دو گونه با یکدیگر ارتباط نزدیکی دارند، ویژگی های مشابه ریخت شناسی را به اشتراک می گذارند و هر دو دارای دانه گرده های بیضوی شکل هستند: تحلیل فیلو ژنتیکی نیز رابطه نزدیک آنها را ثابت کرد (یانگ و همکاران 2007). همساختی و هم ردیفی توالی بالا 4 نشانگر مولکولی بین این دو گونه ها (حتی تشابه توالی *ITS2* به 100 درصد می رسد) بازشناسی و تمیز آنها را از یکدیگر مشکل تر می سازد. اما *ITS* به علت دارا بودن طول کامل میتواند *Byinchowense* را از *B. chinese* تشخیص دهد (Xie و همکاران 2009). *ITS* طبق نظر گروه گیاهان *BOL* چینی باید در بارکد اصلی گیاهان دانه دار یکپارچه و ادغام شود (گروه گیاهان چینی *BOL* و همکاران 2011). محدودیت ها و نواقص *ITS2* در نمونه *Bupleurum* با *ITS* رفع می شوند. همچنین *ITS* طول - کامل را (منجمله *nrITS1-5.85-ITS2* با طول 600-609bp) برخی از گونه های *Bupleurum* را تقویت و ردیف گذاری کردیم، اما مقدار موفقیت تقویت *PCR* کمتر از *ITS2* بود و این نشان دهنده همسویی خوب این یافته ها با یافته های چس و کرس (چس و همکاران 2007، کرس و اریکسون 2007) بود. بنابراین کل منطقه *ITS* را از تحقیق بیشتر مستثنی کردیم و *ITS2* را به عنوان بارکد اصلی *Bupleurum* تایید و پذیرفتیم.

### اعتبار بارکد پیشنهادی *ITS2* در شناسایی دارو خام *Chaitu*

مجموعه داده های *DNA* مواد برگ در اکثر تحقیقات بارکد *DNA* تایید و اثبات شد. البته دارو خام *Chaitu* از بخش های زیر زمینی گیاهان *Bupleurum* بدست می یابد. بنابراین، به منظور بررسی میزان عملیات پذیری مناطق بارکد، تشخیص و شناسایی داروهای خام *Chaitu* را توصیه کردم و ریشه های *B. chinese*، *B. scorzonerifolium*، و *B. smithii* (بدست آمده از بازار *Qingping* شهر گونزاگو که به وسیله پرفسور پان شانگلی و چائو زی مورد تحقیقات میکروسکوپی قرار گرفتند)، برای انجام آزمایشات

مقدماتی دو سو کور انتخاب شدند . نمونه ها را علامت گذاری کردیم و از کارشناس فنی ناآگاه از هویت نمونه خواستیم تا آزمایشات زیر را با پیروی از پروتکل ما ، مثل استخراج DNA ، تقویت ITS2 ، ردیف سازی ، و ضربه زنی در پایگاه داده های بارکد Bupleurum انجام دهد. کارشناس فنی به طور صحیح و درستی تمام سه نمونه را تشخیص دادند و شناسایی کردند.

این مقاله، از سری مقالات ترجمه شده رایگان سایت ترجمه فا میباشد که با فرمت PDF در اختیار شما عزیزان قرار گرفته است. در صورت تمایل میتوانید با کلیک بر روی دکمه های زیر از سایر مقالات نیز استفاده نمایید:

لیست مقالات ترجمه شده ✓

لیست مقالات ترجمه شده رایگان ✓

لیست جدیدترین مقالات انگلیسی ISI ✓

سایت ترجمه فا ؛ مرجع جدیدترین مقالات ترجمه شده از نشریات معتبر خارجی